

大阪大学工学部 正員 伊藤富雄  
 同 同 ○松井保  
 同 学生員 岩谷文方  
 同 同 竹本雅俊

## [1] ましめき

軟弱地盤上の構造物の沈下および安定の問題を考える場合、軟弱地盤の流動がその原因の一つと考えられる。そこでこの流動のメカニズムを明らかにすることを終極的目的として、二つの実験を行なった。すなはち模型の軟弱地盤に載荷した場合、載荷量が段階的に増加するにつれて流動域も増大し、限界荷重を越えてもその範囲が広がり一定にならないといふことを前回報告したが、載荷量に対する流動域の増加の過程並更に詳しく検討するためには一定荷重の載荷による実験を行なつた。つぎに軟弱土の流動特性を求めるために pipe flow の実験を行なつたので、これら二つの実験結果を報告する。

## [2] 載荷実験の方法、結果および考察

前面に 5 cm さざめの格子の入った強化ガラス張りの  $0.4 \text{m} \times 1 \text{m} \times 2 \text{m}$  の木製の箱に底面より 70 cm の高さまで練り返した土を入れて軟弱地盤の供試体とし、約 24 時間静置した後載荷を始めた。実験に用いた土はシルト 76% のシルト質ロームで、含水比約 92%，PL. 24.5%，L.L. 45.1%，比重 2.69 である。載荷方法は載荷中 20 cm の底面が Rigid な箱に 8 り 2, 4, 6, 8, 10 g/cm<sup>2</sup> の 5 通りの一定荷重をそれぞれ新しい供試体に 24 時間載荷し測定を行なつた。沈下量は載荷箱の四隅にダイアルゲージを設置し、地盤内の土粒子の変位はあらかじめガラス面にツッズミで白点をつけて測定し、これによつて流動域を判定した。なお限界荷重は直径 10 cm の円板に 1 g/cm<sup>2</sup> ごとの段階荷重を加えて荷重-沈下量曲線より求めたところ  $q_c = 5 \text{ g/cm}^2$  であった。

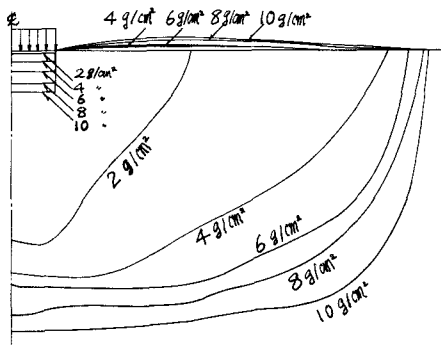


図-1

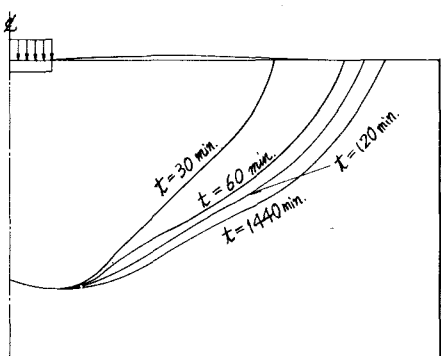


図-2

図-1 は、それぞれの荷重に対する 24 時間載荷後の流動域を示し、図-2 は、載荷量  $4 \text{ g/cm}^2$  の場合の時間と流動域との関係を一例として示したものである。これらの図から、載荷量  $6 \text{ g/cm}^2$  以上では端部の影響があると思われるが、載荷量が増せば流動域も増し、一定荷重に対する時間とともに流動域も増すが、その増加の割合が急減することが分かつ。したがつて地表面に載荷した場合流動域の境界が荷重と時間によって変化することが結論される。

### [3] pipe flow

(i) 実験装置および方法；図-3に示すように、直径11 cm、長さ43 cmの管の先端に直径0.54 cm、長さ10.02 cmの細管をとりつけたアクリル樹脂製の装置を使用した。この細管の入口は入口擴大をできただけ小さくするためベルマウス状にしてある。この装置に試料を入れて地盤より圧縮空気を送り込み細管に圧力差を生じさせ、細管から流出する試料の流量を測定し、細管両端間の圧力差は管の入口附近に設置して直径6 mm、厚さ0.5 mmの超小型圧力変換器により測定し、動量測定器およびビジグラフを用いて連続的に記録した。流量の測定は圧力を一定にし流本が定常状態になったときに行ない、つぎに圧力を変えて同様の操作をくり返した。実験に用いた試料は粘土分36%の粘土び、04 mmフレイを通過したものである。またP.L. 35.5%, L.L. 90.5%, 比重2.71である。含水比は(I) 11.90%, (II) 13.73%, (III) 16.03%の三通りについて行った。温度は約15°Cを保った。

(ii) 実験結果および考察；測定結果を粘性率変数 $P$ 、 $\nabla$ を用いて図示すると図-4のごとくなる。こゝに $P = R \cdot \Delta P / 2l$ ,  $\nabla = 4Q / \pi R^3$ ,  $R$ は管の内半径、 $\Delta P$ は管長と間の圧力降下、 $Q$ は流量である。つぎにこの粘土の流動特性をKrieger-Maronの方法によつて求めめる。すなわち変形速度 $\dot{\gamma}$ せん断応力の関数 $-du/dr = g(\dot{\gamma})$ であるとすると、pipe flowの場合、
$$g(\dot{\gamma}_w) = \dot{\gamma}_w (\phi_a + \tau_w \cdot d\phi_a / 4d\dot{\gamma}_w) \quad (i)$$
  
 $\tau_w$ : 管壁のせん断応力  
 $\phi_a$ : 見かけの流動度 ( $4u_a / R \dot{\gamma}_w$ )  
 $u_a$ : 平均流速

上式より $\dot{\gamma}_w \sim g(\dot{\gamma}_w)$ の関係を図示すれば図-5のごとくなる。この図から判断すると、粘土はあく限界流速 $u_c$ まで非Bingham塑性流動するわら $g(\dot{\gamma}) = (\dot{\gamma} - \dot{\gamma}_f)^n / C_p$  ( $n > 1$ ,  $\dot{\gamma}_f$ : 静止応力,  $C_p$ : 塑性粘度) を示すが、含水比が大きくなるにつれてBingham流動 ( $n=1$ ) に近づく傾向がある。このBingham流動につれては泥じょうに関するCaldwell等多くの研究があるが、しかし土の流動問題は含水化が低く必ずしもBingham流動として近似できない場合が生ずる例も多いと思われる。したがつて土の非Bingham塑性流動としてこの研究が大いに期待され、今後この方面的研究を進めて行きたい。

- 参考文献  
(1) 松井義是「軟弱地盤の流動について」第2回土質討論会、1966  
(2) 富田幸雄「非- $\tau_f$ - $\dot{\gamma}$ 流体工学の取扱」山日本出版会、昭和35.12  
(3) D.H.Caldwell・H.F.Babbitt「The flow of muds, sludges and suspensions in circular pipe」A.I.Ch.E. 1941

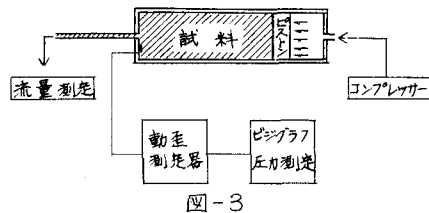


図-3

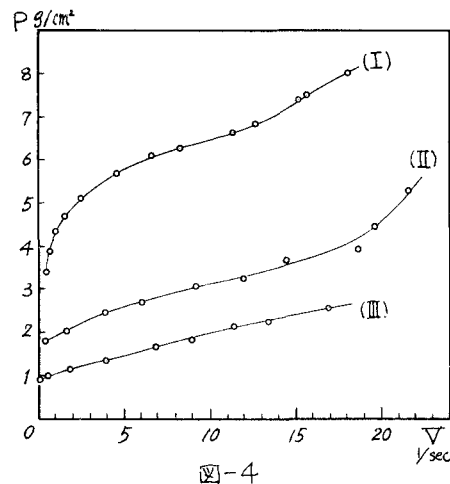


図-4

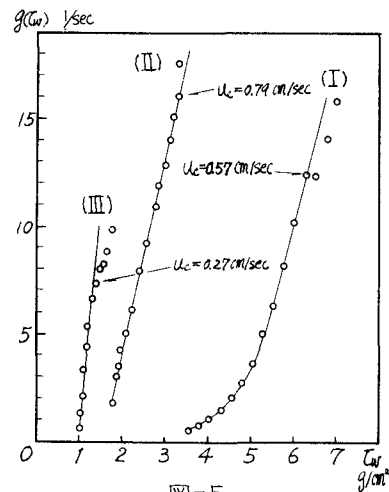


図-5